

# Berechnung der Abstrahldämpfung in ebenen Wellenleitern aufgrund eines angrenzenden Fluids

Daniel A. Kiefer   Michael Ponschab   Stefan J. Rupitsch

Lehrstuhl für Sensorik  
Friedrich-Alexander-Universität Erlangen-Nürnberg  
91052 Erlangen, Deutschland

22. März 2018 – DAGA München

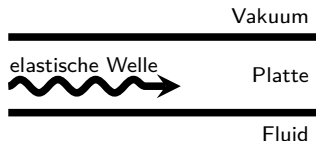


Lehrstuhl Sensorik



FRIEDRICH-ALEXANDER  
UNIVERSITÄT  
ERLANGEN-NÜRNBERG  
TECHNISCHE FAKULTÄT

## Geführte Wellen in Festkörpern:



- Zerstörungsfreie Werkstoffprüfung
  - hohe Reichweite
  - z. B. Prüfen von Rohren
- Ultraschallmesstechnik
  - parasitär oder gezielt genutzt
  - z. B. Durchflussmesstechnik

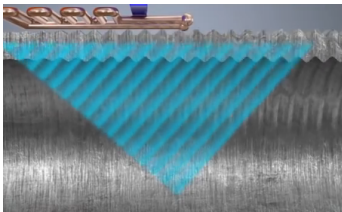
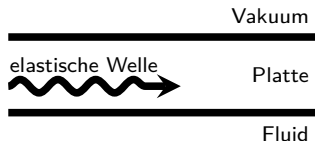


Abb.: Welle in Rohrwand<sup>1</sup>

<sup>1</sup>ROSEN Group. *ROSEN EMAT Flowmeter*. 2018. URL: <http://flowmeter.rosen-group.com/>

## Geführte Wellen in Festkörpern:



- Zerstörungsfreie Werkstoffprüfung
  - hohe Reichweite
  - z. B. Prüfen von Rohren
- Ultraschallmesstechnik
  - parasitär oder gezielt genutzt
  - z. B. Durchflussmesstechnik

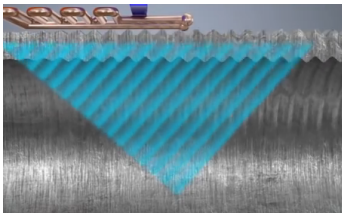


Abb.: Welle in Rohrwand<sup>1</sup>

### Wichtiger Parameter:

Wie viel Energie gibt die geführte Welle an die Umgebung ab?

<sup>1</sup>ROSEN Group. ROSEN EMAT Flowmeter. 2018. URL: <http://flowmeter.rosen-group.com/>

Lambwellen

Kiefer

Motivation

Grundlagen

Kollokation

Ergebnisse

Fazit

- 1 Motivation
- 2 Grundlagen
- 3 Kollokation
- 4 Ergebnisse
- 5 Fazit

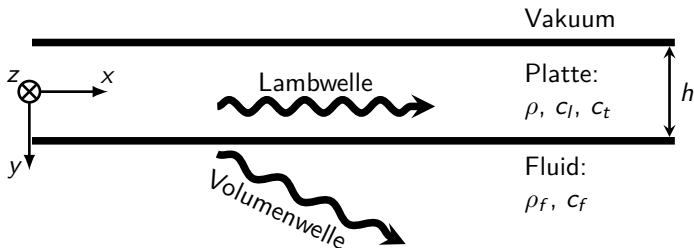
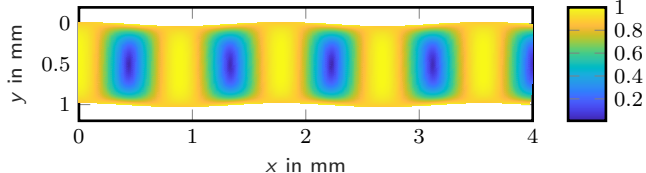


Abb.: Querschnitt der Platte mit angrenzendem Fluid.

- **Lambwelle:** geführte Welle in der Platte mit Teilchenbewegung in der  $x$ - $y$ -Ebene
- regt im angrenzenden Fluid eine Volumenwelle an
  - Abgabe von Energie an die Umgebung
  - **Abstrahldämpfung:** Imaginärteil der Wellenzahl  $k_x$

$$c_{ph} = 1784,6283 \text{ m/s}, f = 1 \text{ MHz}$$



$$c_{ph} = 3684,8258 \text{ m/s}, f = 1 \text{ MHz}$$

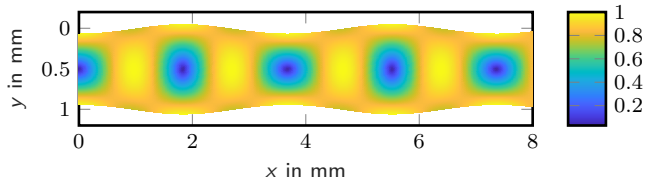


Abb.: **Oben:** Antisymmetrische Mode A0; **Unten:** Symmetrische Mode S0.  
Normierte totale Verschiebungsamplitude als Farbskala.

- Lambwellen sind dispersiv:

### Dispersion

Wellenzahl ist frequenzabhängig:

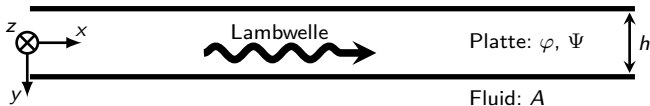
$$k_x = k_x(f) \quad \Leftrightarrow \quad c_{ph} = c_{ph}(f)$$

- Der Zusammenhang  $k_x(f)$  wird durch die **charakteristische Gleichung**

$$F(k_x, f) = 0$$

in impliziter Form beschrieben.

- Diese ist jedoch transzendent!
  - **numerische Methoden** nötig
  - schlecht konditioniert



Potentialansatz für isotrope, homogene Platte:

$$\vec{u} = \begin{bmatrix} u_x \\ u_y \\ 0 \end{bmatrix} = \nabla \varphi(x, y, t) + \nabla \times \begin{bmatrix} 0 \\ 0 \\ \Psi(x, y, t) \end{bmatrix}$$

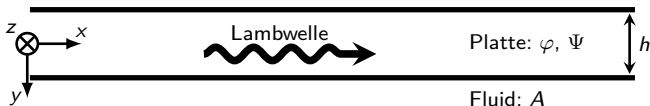
$$\vec{u}_f = \nabla \varphi_f(x, y, t)$$

Harmonische Wellenausbreitung in x-Richtung:

$$\varphi(x, y, t) := \varphi(y) e^{i(k_x x - \omega t)}$$

$$\Psi(x, y, t) := i\Psi(y) e^{i(k_x x - \omega t)}$$

$$\varphi_f(x, y, t) = A e^{i\sqrt{k_f^2 - k_x^2} y} e^{i(k_x x - \omega t)}$$



Bewegungsgleichungen in den Potentials  $p = [\varphi(y), \Psi(y), A]^T$ :

$$\begin{bmatrix} \frac{\partial^2}{\partial y^2} + \frac{\omega^2}{c_t^2} & 0 & 0 \\ 0 & \frac{\partial^2}{\partial y^2} + \frac{\omega^2}{c_t^2} & 0 \end{bmatrix} \cdot \begin{bmatrix} \varphi(y) \\ \Psi(y) \\ A \end{bmatrix} = k_x^2 \begin{bmatrix} 1 & 0 & 0 \\ 0 & 1 & 0 \end{bmatrix} \cdot \begin{bmatrix} \varphi(y) \\ \Psi(y) \\ A \end{bmatrix}$$

Randbedingung zum Vakuum:

$$\begin{bmatrix} \sigma_{yy}(y) \\ \sigma_{xy}(y) \end{bmatrix}_{y=-h/2} \stackrel{!}{=} \begin{bmatrix} 0 \\ 0 \end{bmatrix}$$

Randbedingungen zum Fluid:

$$\begin{bmatrix} \sigma_{yy}(y) + p_f(y) \\ \sigma_{xy}(y) \\ u_y(y) - u_{y,\text{fluid}}(y) \end{bmatrix}_{y=h/2} \stackrel{!}{=} \begin{bmatrix} 0 \\ 0 \\ 0 \end{bmatrix}$$

→ differentielles, quadratisches **Eigenwertproblem** in  $k_x$

- Problem ist kontinuierlich über die Koordinate  $y$ .
- Diskretisierung: Annäherung der Differentialgleichungen mit einem algebraischen Gleichungssystem  
→ lösen mit dem Rechner
- **Spektrale Kollokationsmethode**: erfolgreich für freie Platte eingesetzt <sup>2</sup>
  - findet zuverlässig alle Eigenwerte  $k_x$
  - stets stabil, auch für hohes Frequenz-Dicken-Produkt  $fh$
  - keine spezielle Behandlung für komplexe  $k_x$  nötig
  - einfach zu Implementieren
  - sehr effizient/schnell: spektrale Konvergenz
  - Modenformen  $[\varphi(y), \Psi(y)]^T$  können einfach mit bestimmt werden

---

<sup>2</sup>F. Hernando Quintanilla, M. J. S. Lowe und R. V. Craster. "Modeling guided elastic waves in generally anisotropic media using a spectral collocation method". In: *The Journal of the Acoustical Society of America* 137.3 (März 2015), S. 1180–1194

- Spektrale Methode: Wähle glatte, globale Ansatzfunktionen welche  $[\varphi(y), \Psi(y)]^T$  nähern<sup>3</sup>.
- Kollokationsmethode: Das Residuum an den gewählten Kollokationspunkten  $y_i$  verschwindet.
- **Differentiationsmatrix**  $\underline{\underline{D}}_y$ :

$$\frac{\partial}{\partial y} \mapsto \underline{\underline{D}}_y$$

→ sodass für  $g(y)$  gilt:  $\underline{g}'[y_i] = \underline{\underline{D}}_y \cdot \underline{g}[y_i]$

- Das diskretisierte Problem besitzt dadurch die gleiche Form wie bisher!
- resultierendes, **nichtlineares Eigenwertproblem**:

$$\underbrace{(k_x^2 \underline{\underline{A}}_2 + k_x \underline{\underline{A}}_1 + \underline{\underline{A}}_0)}_{\underline{\underline{P}}(k_x)} + \underbrace{\sqrt{k_f^2 - k_x^2} \underline{\underline{B}}}_{f(k_x)} \cdot \underline{p} = \underline{0}$$

<sup>3</sup>J. A. Weideman und S. C. Reddy. "A MATLAB Differentiation Matrix Suite".  
In: *ACM Trans. Math. Softw.* 26.4 (Dez. 2000), S. 465–519

- Für lineare und polynomielle Eigenwertprobleme existieren hochentwickelte numerische Löser.
- nicht jedoch für allgemeine nichtlineare Eigenwertprobleme <sup>4</sup>
- Idee: Fixpunktiteration für den  $\nu$ ten-Eigenwert  $k_{x\nu}$ :

---

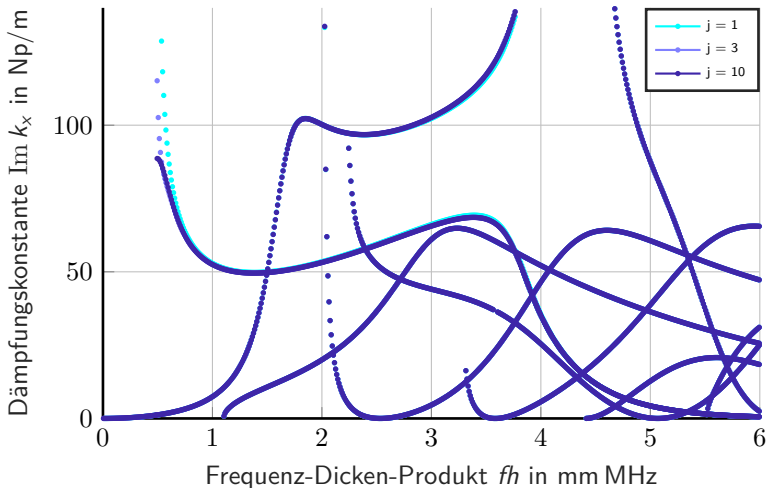
### Algorithm 1 Fixpunktiteration

---

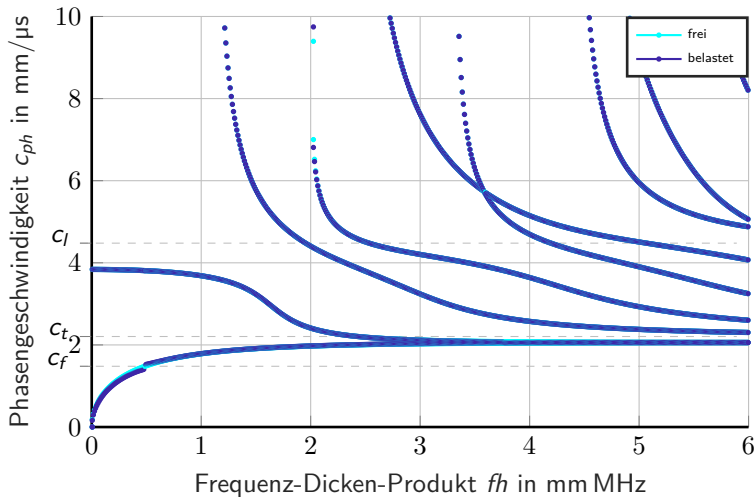
- 1:  $k_{x\nu}^0 \leftarrow k_{x\nu}$  der freien Platte,  $j \leftarrow 0$
  - 2: **while** Konvergenzkriterium nicht erfüllt **do**
  - 3:     Löse:  $(\kappa_i^2 \underline{\underline{A_2}} + \kappa_i \underline{\underline{A_1}} + \underbrace{\underline{\underline{A_0}}(f) + \sqrt{k_f^2 - (k_{x\nu}^j)^2 \underline{\underline{B}}}}_{\text{konst.}}) \cdot \underline{\underline{\pi_i}} = \underline{\underline{0}}$
  - 4:      $k_{x\nu}^{j+1} \leftarrow \min_i(\kappa_i - k_{x\nu}^j)$ ,  $\underline{\underline{p}}_\nu^{j+1} \leftarrow \underline{\underline{\pi_i}}$
  - 5:      $j \leftarrow j + 1$
  - 6: **end while**
- 

<sup>4</sup>Volker Mehrmann und Heinrich Voss. "Nonlinear eigenvalue problems: a challenge for modern eigenvalue methods". en. In: *GAMM-Mitteilungen* 27.2 (Dez. 2004), S. 121–152

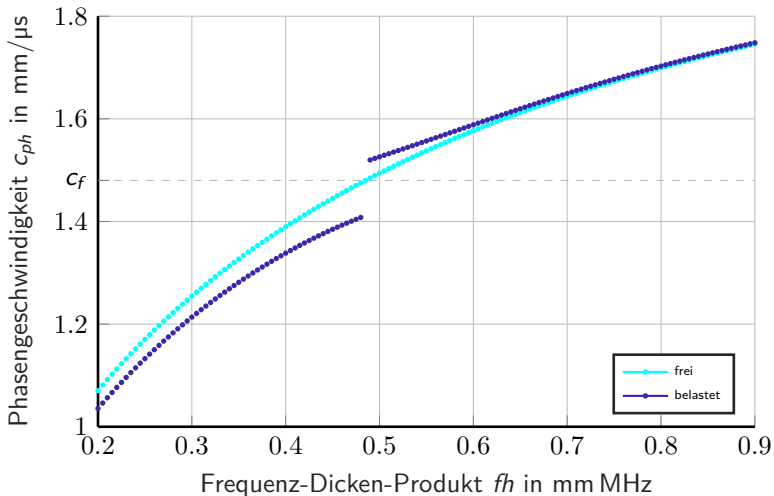
## Messingplatte – einseitig belastet mit Wasser



## Ausbreitungsfähige Moden einer Messingplatte



## Moden einer Messingplatte (Ausschnitt)



- Lösen des Eigenwertproblems ist besser konditioniert als Nullstellensuche der charakteristischen Gleichung!
- Differentiationsmatrizen sind ein elegantes Konzept zur Diskretisierung.
- Spektrale Kollokation mit Chebyshev-Kollokationspunkten ist für das Problem sehr gut geeignet und weist *spektrale Konvergenz* auf.
- Abstrahlung von Energie resultiert in einem nichtlinearen Eigenwertproblem mit Wurzel-Term.
  - nicht-trivial zu lösen
  - iterative Verfahren (hier: Fixpunktiteration)

*Vielen Dank für Ihre Aufmerksamkeit!*

